

Per coedutekkel

VIII 2580

1949

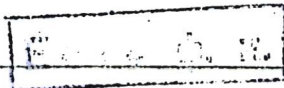
USi₂, MpSi₂, PuSi₂, CeSi₂ (4c)

Zachariasen W.H.,

Acta crystallogr., 1949, 2, 94-99

Mr

CA, 1949, 6484gi



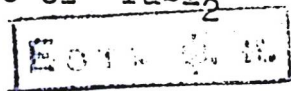
VIII 2266

1955

β - PuSi_2 (rxy).

Runnalls O.J.C., Boucher R.R.,
Acta crystallogr., 1955, 8, N 9,
592

The crystal structure of PuSi_2



PACX, 1956, N 10, 28261

JL

VIII 1829

1960

PuB (re); PuB₂(re), PuB₄ (re). PuB₆ (re)

McDonald B.J., Stuart W.I.,

Acta crystallogr., 1960, 13, N 5, 447-448

The crystal structures of some plutonium
borides

EOTW. 61

PMXm, 1960, 91370

llle

Priyat J. L.

1963, 1964

et al

Mol. Phys., 11, N1, 17 (1963-4)

Dirección de reacciones de $S_f - 6_f$

receptores de U (IV), Np (IV),
Pu (IV) en reacciones con

gax.



1967

PuN

Gingerich K.A.

J. Chem. Phys., 47, n^o 6, 2192

do

Некоторые геодинамические
разослуженные яв.

(Chem. UN) III

PwC

Ammersee 840

1969

Gingerich K. A.

J. Chem. Phys., 50, (NS),
2255.

No

IV

(Coll. 11c) III

Pu H⁺

BQ-3937-VII

1970

Pu D⁺

Moreland P.E.; et al.

mass-
measur.

Int. J. Mass Spectrom.

Ion. Phys., 1970, 5,
N1-2, 127-36.



(ca. U-H; III)

5 Б640. Исследование гидрида плутония методом ядерного магнитного резонанса. Cinader G., Zamir D., Hadari Z. NMR study of the plutonium hydride system. «Phys. Rev. B: Solid State», 1976, 14, № 3, 912—920 (англ.)

При т-рах 77—300° К на нестехиометрич. образцах PuH_x (I) с $x=1,78; 2,35; 2,65$ и $2,78$ измерены спектры ПМР. Спектры I состоят из двух линий, различающихся положением, площадью по кривой и шириной. Эти линии идентифицированы как относящиеся к протонам расположенным в октаэдрич. (H_0) и тетраэдрич. (H_t) позициях решетки I. Сдвиг Найта для H_0 не выходит за пределы ошибки эксперимента; для H_t сдвиг измерен, и его изменение описывается законом $K=K_0+c_h/(I-\theta_h)$, где параметр c_h практически не зависит от x . Характер зависимости $K(T)$ аналогичен закону Кюри — Вейсса, что указывает на парамагнетизм I и возможность магнитного упорядочения I при низких т-рах. Для $x=2,78$ обнаружено ферромагнитное упорядочение при $\theta_h=-85^\circ \text{К}$; значения θ_h резко уменьшаются при уменьшении x . Высказано предположение об антиферромагнитном упорядочении при малых x . Характер т-рной зависимости времен спин-решеточной релаксации свидетельствует о наличии в I локализованного магнитного мо-

Синкір

Х1977 № 5

мента у ионов плутония. Обнаружено, что скорость диффузии «октаэдрич.» протонов больше, чем «тетраэдрич.» Из совокупности полученных данных сделан вывод о том, что характер связи атомов водорода, расположенных в октаэдрах и тетраэдрах, различен. Для описания электронного строения I предложена модель, согласно к-рой с октаэдрич. атомами Н связан новый уровень, расположенный ниже валентной зоны. Сделано также предположение об уменьшении валентности у ионов плутония, расположенных вокруг октаэдрич. протонов.

С. Ш. Шильштейн



$M_2 Ru$

($M = Fe, Co, Ni$)
 $Ru, Rh, or Ir$)

1944

Chapnik Yell.

Phys. Status Solidi 1947

39(2) x 135 - x 138 (Eng.).

metrop.
rocks
in chrys

● (fell. class P; II)

отмечен 6701

1978

PuN
PuN₂

9 Б172. Инфракрасные спектры матричноизолированных нитридов плутония. Green D. W., Reedy G. T. Infrared spectra of matrix-isolated plutonium nitrides. «J. Chem. Phys.», 1978, 69, № 2, 552—555 (англ.)

Измерены ИК-спектры продуктов р-ций атомарного плутония с N_2^{14} , N_2^{15} и $N^{14}N^{15}$, изолированных в матрице тв. Аг. Идентифицированы полосы поглощения, свидетельствующие об образовании в этих условиях PuN и PuN₂. В случае PuN вычислена гармонич. частота колебания $861,9 \pm 1,6 \text{ см}^{-1}$ и 1-я поправка на ангармоничность $3,1 \pm 0,8 \text{ см}^{-1}$. Для изотопозамещенных молекулы PuN₂ определены частоты вал. кол. ν_3 , проведен анализ норм. кол. и сделан вывод о линейной структуре

ре этой молекулы. Отмечено, что отриц. величина валентно-валентного взаимодействия силовой постоянной PuN₂ свидетельствует о более слабой связи PuN по сравнению с PuN₂.

О. Г. Гаркуша

XVIII - Ч263

Ч.К.
Составлено

21978 NG

PuN

PuN₂

ИК-спектр

отмечено 6701 1978
XVII-7263

1 Д413. ИК-спектры матрично-изолированных нитридов Pu. Green David W., Reedy Gerald T. Infrared spectra of matrix-isolated plutonium nitrides. «J. Chem. Phys.», 1978, 69, № 2, 552—555 (англ.)

Исследованы ИК-спектры ($1050\text{---}700\text{ см}^{-1}$) молекул PuN (I) и PuN₂ (II), а также их ¹⁵N-замещенных аналогов, изолированных в аргоновой матрице при т-ре 20° К. Частоты валентных колебаний I и ¹⁵N—I составляют 855,73 и $828,62 \pm 0,05\text{ см}^{-1}$ соответственно. Теоретич. значение колебательной частоты I (в гармонич. приближении) равно $861,9 \pm 1,6\text{ см}^{-1}$. Определена поправка на ангармоничность колебания I $\omega_e \chi_e = 3,1 \pm 0,8\text{ см}^{-1}$. Частоты валентного колебания γ в II, содержащих атомы ¹⁴N¹⁴N, ¹⁴N¹⁵N и ¹⁵N¹⁵N равны 1029,74; 1017,73 и $998,87 \pm 0,05\text{ см}^{-1}$ соответственно. Показано, что молекулы II являются линейными, причем эффективность связи в II выше, чем в I. Библ. 12. И. В. А.

Ф. 1979 № 2

Pectinly

1979

Shiokawa S., et al.

space
walkup.
Computer

Technol. Repts. Osaka
Univ.; 1979, 29, 45-50

(ed. Shultz; iii)

Ilc, 27 Pu_{0.23}O_{2+ α}

1980

94: 147118u Oxygen potentials of uranium plutonium oxide ($U_{0.77}Pu_{0.23}O_{2+ α }$) in the temperature range 1250-1550°C. Chilton, G. R.; Edwards, J. (Windscale Nucl. Power Dev. Lab., United Kingdom At. Energy Author., Sellafield/Seascale/Cumbria, Engl.). *Thermodyn. Nucl. Mater., Proc. Int. Symp.* 1979 (Pub. 1980). 1, 357-68 (Eng). IAEA: Vienna, Austria. The O potentials were measured at 4 temps. between 1250 and 1550° by using a thermogravimetric technique. Addnl. measurements made on $UO_{2+ α }$ and $U_{0.69}Pu_{0.31}O_{2+ α }$ were compared with previously published data. Anomalies in some of the low temp. measurements may be attributable to small-scale variations in the Pu/(U + Pu) ratio.

P.L. 1981 G4/118

1981

 $\text{Ru}_3(\text{CO})_{12}$

2 Д804. УФ-фотоэлектронное исследование некоторых металлокарбонильных и гидридометаллокарбонильных кластеров. Ultraviolet photoelectron studies on bonding in some metal carbonyl and metal hydrido carbonyl clusters. Green Jennifer C., Mingos D. Michael P., Seddon Elaine A. «Inorg. Chem.», 1981, 20, № 8, 2595—2602 (англ.)

Получены HeI- и HeII-фотоэлектронные спектры в газовой фазе $\text{Ru}_3(\text{CO})_{12}$, $\text{Os}_3(\text{CO})_{12}$, $\text{Co}_4(\text{CO})_{12}$, $\text{Os}_6(\text{CO})_{18}$, $\text{H}_3\text{Re}_3(\text{CO})_{12}$, $\text{H}_4\text{Re}_4(\text{CO})_{12}$, $\text{H}_2\text{Os}_3(\text{CO})_{10}$, $\text{H}_4\text{Os}_4(\text{CO})_{12}$. Фотоэлектронные спектры интерпретированы при помощи анализа относит. интенсивностей в HeI- и HeII-спектрах и сравнения с фотоэлектронными спектрами родственных соединений. Первый потенциал ионизации исследованных соединений соответствует удалению электронов связи M—M. Показана важная роль атомов водорода в стабилизации кластеров. Обсуждена правомочность проведения аналогии между электронной структурой кластеров и металлич. поверхности. Библ. 32.

Ю. В. Чижов

☒

+ 7

φ 1982, 18, № 2

Coagurucucl Pu

1981

Moravec J., et al.

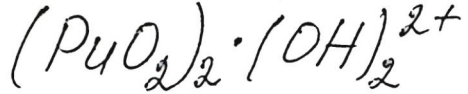
Jad. Energ. 1981, 27(6),

UK-спектр

214 - 215.

в маркерах.

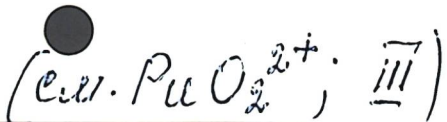
●
(см. Coagur. II; III)



1983

Madic C., Begun G. L.,
et al.

Pi, Inorg. Chin. Acta, 1983,
[1984], 94 [!], Spec., 100-102.



PuAl₂

1986

Boring A.M., Albers R.C.,
Kolling S.R.,

31. *Corythucha*,
paeum ♀. Mass. Mass. Mater.
1986, 54-57 (1), 543-4.

C.A. 1986, 104, N16, 136 251P

PuPh₃ u gp.

1986

Johansson Boerje,
Eriksson Olle, et al.

Ju.
empyrom.

Phys. Scr. 1986, T18,
68-72.

(ccr. AcRh₃; ii)

$\text{Gd}(\text{Pu})\text{Cl}_3$

1987

Barbarel Yu. A.,
Lumrov A. A.

Chemical
Reviews.

Radiochemistry
1987, 29(6), 730-41.

(crys. PuCl_3 ; III)

Рк №

130353/1

1988

Красков К. С.,
Сретененко Н. В.,

ОНИИТЭХИМ.

Деп. N 378-ХП-86,
Черкассы, 1988.

clp. N.

(однозр)



1990

Перцевская В. Т.,
Пономарева Т. В. и др.
Электронн.
спектром. хим. физико-хим. исслед.
свойств. 1990, 35, № 8, с. 2066-

2070.
(см. $\text{UO}_2 \text{Cl}_4^{2-}$; II).

$Pt(CH_3)_3$ 1992

Ortiz J.V., Hay P.J.
et al.

M. n. J. Amer. Chem. Soc. 1992
114, N.Y.C. 2736-2737.

(see $\bullet U(CH_3)_3$, II)

PuN

(Om. 36 998)

1992

Suzuki Y., Maeda A, et al.,

(P, K_p)

γ . Nucl. Mater. 1992,
188, 239-243.

(Pee, U) N

D.M. 36 998

1992

Suzuki Y., Maeda A., et al.,

(P, K_p) J. Nucl. Mater. 1992,
188, 239-243.

PuO₂SO₄

F: PuO₂SO₄

P: 3

1995

05.Д.0178. Неэмпирические квантовохимические расчеты уранила UO_2^{2+} , плутонила PuO_2^{2+} и их нитратов и сульфатов. Ab initio quantum chemical calculations on uranyl UO_2^{2+} , plutonyl PuO_2^{2+} , and their nitrates and sulfates / Craw J. Simon, Vincent Mark A., Hillier Ian H., Wallwork Andrew L. // J. Phys. Chem. - 1995. - 99, N 25. - C. 10181-10185. - Англ.

Ab initio molecular orbital calculations on the structure and stability of the nitrate and sulfate complexes of uranyl (UO_2^{2+}) and plutonyl (PuO_2^{2+}) using effective core potentials are reported. It is found that the binding energy of sulfate is greater than that of nitrate to both uranyl and plutonyl, with a slight preference for plutonyl. A method of decomposing the binding energy into electrostatic, Pauli repulsion, polarization, and charge transfer components is described which predicts that electrostatic forces are dominant. A simple molecular mechanics potential is developed by using this finding, which is successful in reproducing the ab initio results.

X. 1996, N 5

PuO₂(NO₃)₂

1995

F: PuO₂(NO₃)₂

P: 3

05.Д.0178. эмпирические квантовохимические расчеты уранила UO₂{2+}, плутонила PuO₂{2+} и их нитратов и сульфатов. Ab initio quantum chemical calculations on uranyl UO₂{2+}, plutonyl PuO₂{2+}, and their nitrates and sulfates / Craw J. Simon, Vincent Mark A., Hillier Ian H., Wallwork Andrew L. // J. Phys. Chem. - 1995. - 99, N 25. - C. 10181-10185. - Англ.

Ab initio molecular orbital calculations on the structure and stability of the nitrate and sulfate complexes of uranyl (UO_2^{2+}) and plutonyl (PuO_2^{2+}) using effective core potentials are reported. It is found that the binding energy of sulfate is greater than that of nitrate to both uranyl and plutonyl, with a slight preference for plutonyl. A method of decomposing the binding energy into electrostatic, Pauli repulsion, polarization, and charge transfer components is described which predicts that electrostatic forces are dominant. A simple molecular mechanics potential is developed by using this finding, which is successful in reproducing the ab initio results.

X. 1996, n 5

F: PuO₂SO₄

P: 3

1995

бБ176. эмпирические квантово-химические расчеты уранила UO₂^{2+} плутонила PuO₂^{2+}, и их нитратов и сульфатов. Ab initio quantum chemical calculations on uranyl UO₂^{2+}, plutonyl PuO₂^{2+}, and their nitrates and sulfates / Craw J. Simon, Vincent Mark A., Hillier Ian H. Wallwork Andrew L. // J. Phys. Chem. - 1995. - 99, N 25. - С. 10181-10185. . Англ.

эмпирическим методом ССП МО ЛКАО с использованием релятивистских псевдопотенциалов в полном активном пространстве с учетом электронной

корреляции в рамках МП2 и КВ проведены расчеты уранильного и плутонильного катионов и их сульфатов и нитратов. Приведены: равновесная геометрия, распределения электронной плотности колебательные частоты. Энергии связи для сульфатов больше, чем для нитратов, причем для плутония они немногого больше, чем для урана. Разделение энергии связи на компоненты показало преобладание электростатич. взаимодействий. а основании полученных результатов получен простой потенциал для метода молек. механики воспроизводящий неэмпирич. данные. Библ. 38.

Р.Ж.Х.-N6, 1996

F: Pu - Комплексы

P: 3

2000

133:290303 Plutonium(IV) Sequestration:
Structural and Thermodynamic Evaluation of the
Extraordinarily Stable Cerium(IV)
Hydroxypyridinonate Complexes. Xu, Jide;
Radkov, Emil; Ziegler, Marco; Raymond, Kenneth N.

Department of Chemistry and Chemical
Sciences Division Lawrence Berkeley National
Laboratory, University of California Berkeley, CA
94720, USA Inorg. Chem., 39(18), 4156-4164

(English) 2000, Ligands contg. the 1-methyl-
3-hydroxy-2(1H)-pyridinone group (Me- 3,2-HOPO) are
powerful plutonium(IV) sequestering agents. The
Ce(IV) complexes of bidentate and tetradentate HOPO
ligands were quant. studied as models for this

sequestration. The complexes Ce(L1)4, Ce(L2)4, Ce(L3)2, and Ce(L4)2 [HL1 = Me-3,2-HOPO; HL2 = PR-Me-3,2-HOPO (PR = 4- CONHPr); H2L3 = 5LI-Me-3,2-HOPO (I, X = CH2); H2L4 = 5LIO-Me-3,2-HOPO (I, X = O)] were prep'd. in THF soln. from Ce(acac)4 and the corresponding ligand. The complex Ce(L4)2 was also prep'd. in aq. soln. by air oxidn. of the Ce(III) complex [Ce(L4)2]-. Single-crystal x-ray diffraction analyses are reported for Ce(L1)4.cntdot.2CHCl3 [P1 (no. 2), Z = 2, a 9.2604(2), b 12.1992(2), c 15.9400(2) Å, .alpha. 73.732(1), .beta. 85.041(1), .gamma. 74.454(1).degree.], Ce(L3)2.cntdot.2CH3OH [P21/c (no. 14), Z = 4, a 11.7002(2), b 23.0033(4), c

PuN⁺

2001

CMP-PA,
P-UU
homely
frequency

135: 262518b Structure and potential energy function of PuX⁺ (X = O, H, N, C). Li, Quan; Wang, Hong-Yan; Jiang, Gang; Zhu, Zheng-He (Dep. Chem., Sichuan Normal Univ., Chengdu, Peop. Rep. China 610066). *Wuli Huaxue Xuebao* 2001, 17(7), 622-625 (Ch), Beijing Daxue Chubanshe. The theor. study on PuX⁺ (X = O, H, N, C) using the d. functional method (B3LYP) shows that PuO⁺, PuH⁺, PuN⁺ and PuC⁺ can be stable. Ground electronic states are X⁶ Σ^- (PuO⁺), X⁷ Σ^- (PuH⁺), X⁵ Σ^+ (PuN⁺) and X⁸ Σ^- (PuC⁺). Their potential energy functions are in agreement with the Murrell-Sorbie function. Their force consts. and spectroscopic data have been obtained.

C.A. 2001, 135, 118

PuN^{n+}

2001

$n=1, 2, 3$

Chengdu, Sichuan
Normal Univ.
of Sci., Chengdu
China

[135: 309121j] Potential energy function and stability of PuN^{n+} .
Li, Quan; Jiang, Gang; Zhu, Zhenghe (Dep. Chem., Sichuan Normal Univ., Chengdu, Peop. Rep. China 610065). *Huaxue Wuli Xuebao* 2001, 14(3), 303–307 (Ch), Kexue Chubanshe. Potential energy functions and stability of PuN^{n+} ($n = 1, 2, 3$) were studied by using the B3LYP d. functional theory. The electronic ground states are $X^5\Sigma^+$ for PuN^+ and $X^4\Sigma^+$ for PuN^{2+} , and the ground state geometries and spectroscopic data for these two ions are obtained. PuN^{3+} is unstable.

C.A. 2001, 135, N21

PuC⁺

2001

copy Krya,
of the
nomers.
Helpfull

135: 262518b Structure and potential energy function of PuX⁺ (X = O, H, N, C). Li, Quan; Wang, Hong-Yan; Jiang, Gang; Zhu, Zheng-He (Dep. Chem., Sichuan Normal Univ., Chengdu, Peop. Rep. China 610066). *Wuli Huaxue Xuebao* 2001, 17(7), 622-625 (Ch), Beijing Daxue Chubanshe. The theor. study on PuX⁺ (X = O, H, N, C) using the d. functional method (B3LYP) shows that PuO⁺, PuH⁺, PuN⁺ and PuC⁺ can be stable. Ground electronic states are X⁶ Σ^- (PuO⁺), X⁷ Σ^- (PuH⁺), X⁵ Σ^+ (PuN⁺) and X⁸ Σ^- (PuC⁺). Their potential energy functions are in agreement with the Murrell-Sorbie function. Their force consts. and spectroscopic data have been obtained.

C.A. 2001, 135, N18

2000

F: PuN₂

P: 3

133:286797 An ab initio study of PuO₂ and of
PuN₂. Archibong, E. F.; Ray, A. K. Department of
Physics, University of Texas at Arlington
Arlington, TX 76019, USA THEOCHEM,
530(1,2), 165-170 (English) 2000. Ab initio
electronic structure calcns. using correlated wave
functions were performed to investigate the
structures, vibrational frequencies and energetics
of PuO₂ and PuN₂ mols. in their low-lying
electronic states. For PuO₂, the 5.SIGMA.g+-
[(1.delta.u)²(1.phi.u)²] and the 5.PHI.u-

$[(1.\delta.u)2(1.\phi.u)1(4.\sigma.g)1]$ states are found to be nearly degenerate. However, frequency considerations indicate that the 5.SIGMA.g+ state is the preferred candidate for the ground state. The CCSD(T) computed vertical ionization energy of PuO₂ of 9.92 eV compare favorably with the exptl. detd. ionization energy of 9.43 eV. For PuN₂, the 3.PI.g- $[(1.\delta.u)1(1.\phi.u)1]$ state is predicted to be the ground state. The .omega.3 mode frequency computed for the 3.PI.g ground state at the CCSD and CCSD(T) levels, when scaled by 0.93 and 0.92, resp., agrees perfectly with the .nu.3 frequency of 1030 cm⁻¹ reported from IR matrix isolation studies.